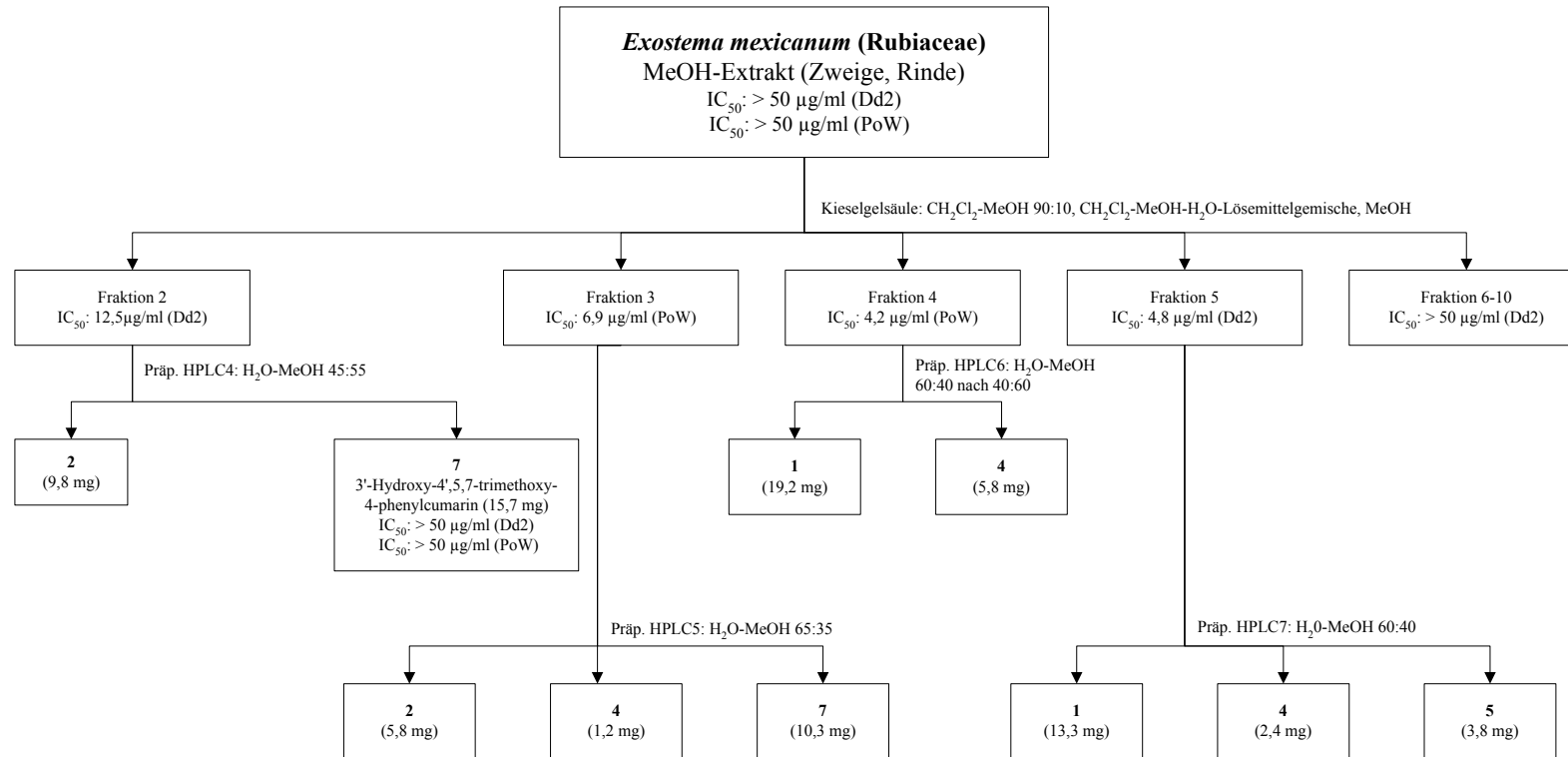


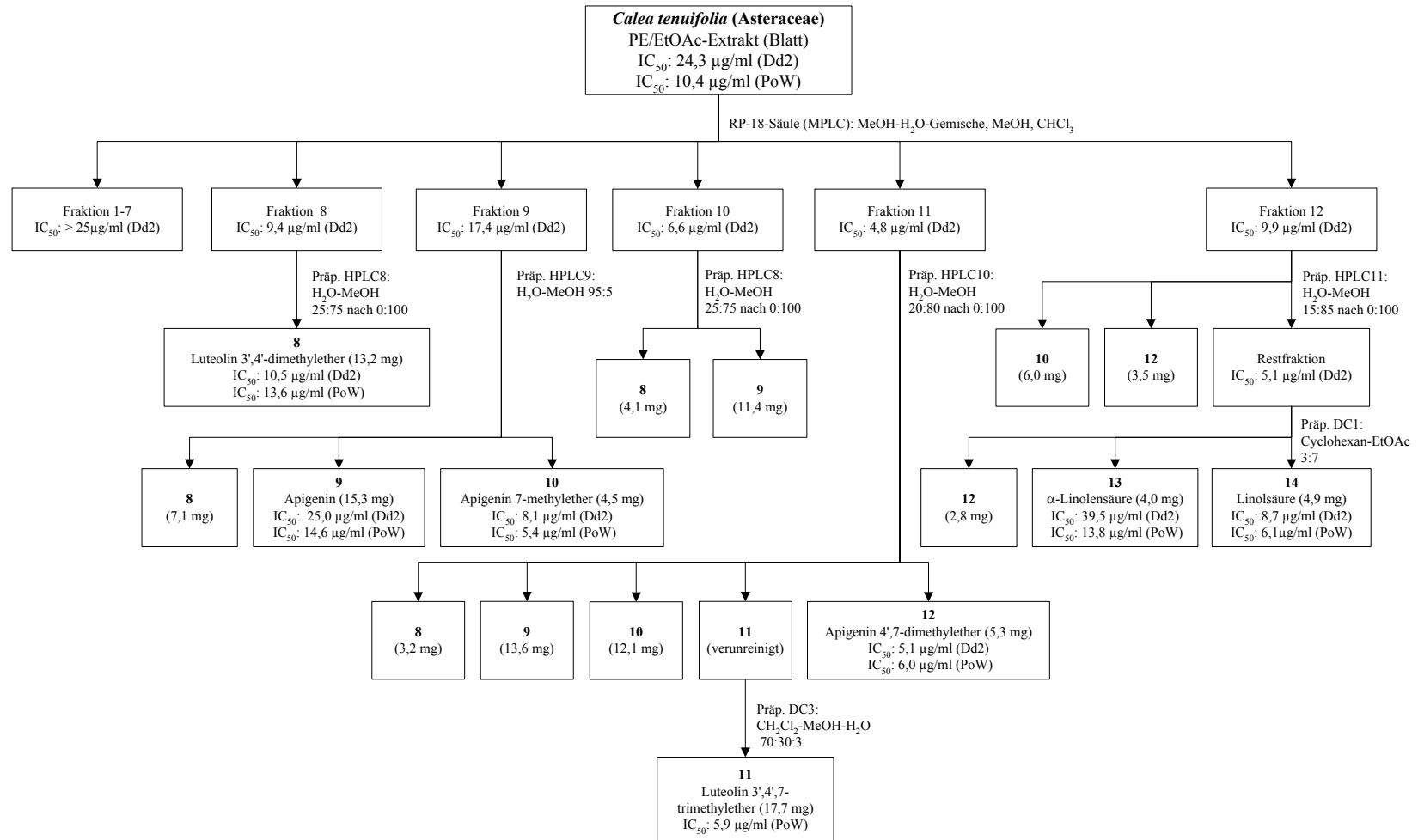
Anhang I:

Schema der aktivitätsgeleiteten Fraktionierung des lipophilen Rohextraktes der Zweige und Rindenteile vom Stamm von *Exostema mexicanum*



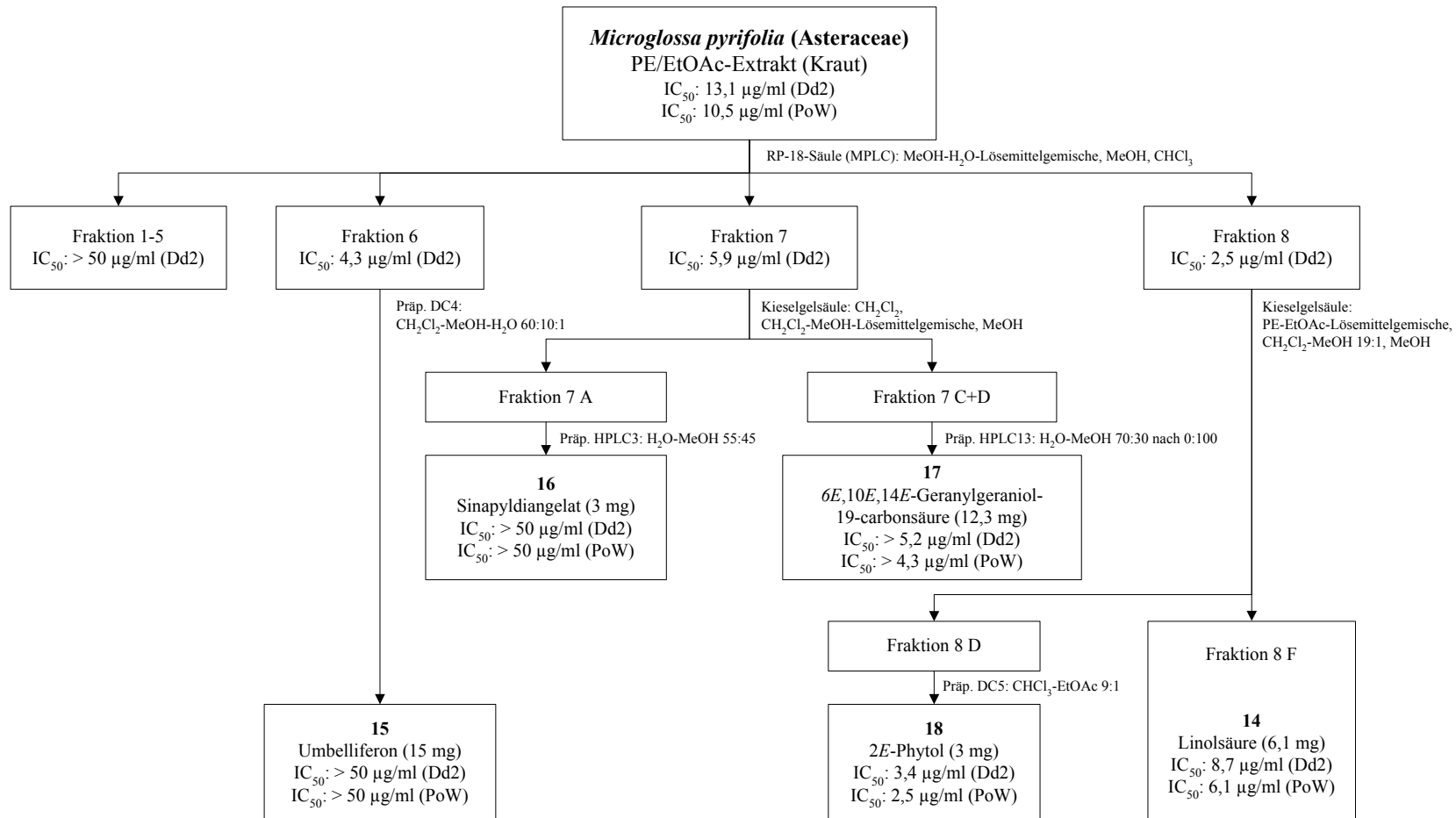
Anhang II:

Schema der aktivitätsgeleiteten Fraktionierung des methanolischen Rohextraktes der Zweige und Rindenteile vom Stamm von *Exostema mexicanum*



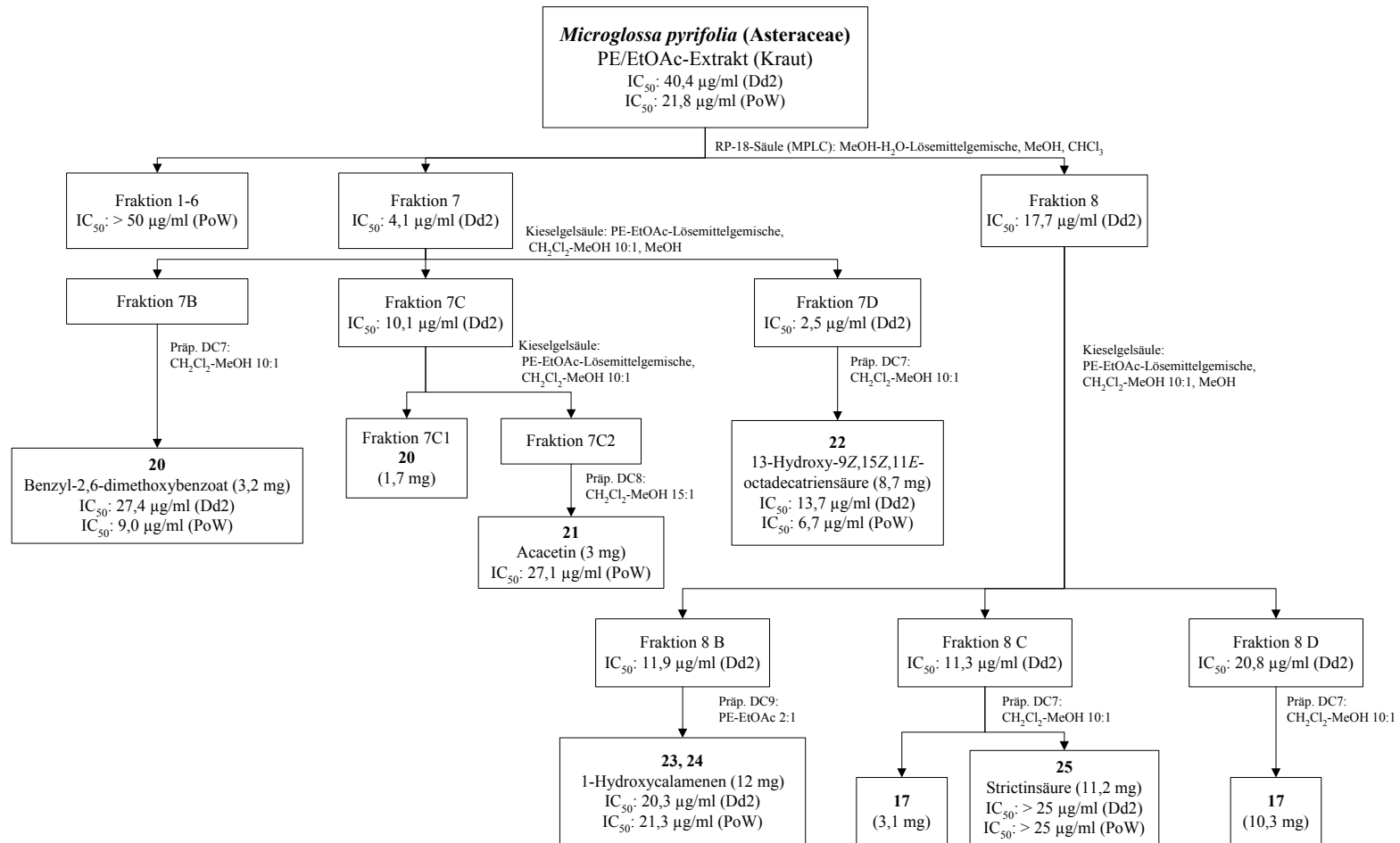
Anhang III:

Schema der aktivitätsgeleiteten Fraktionierung des lipophilen Rohextraktes der Blätter von *Calea tenuifolia*



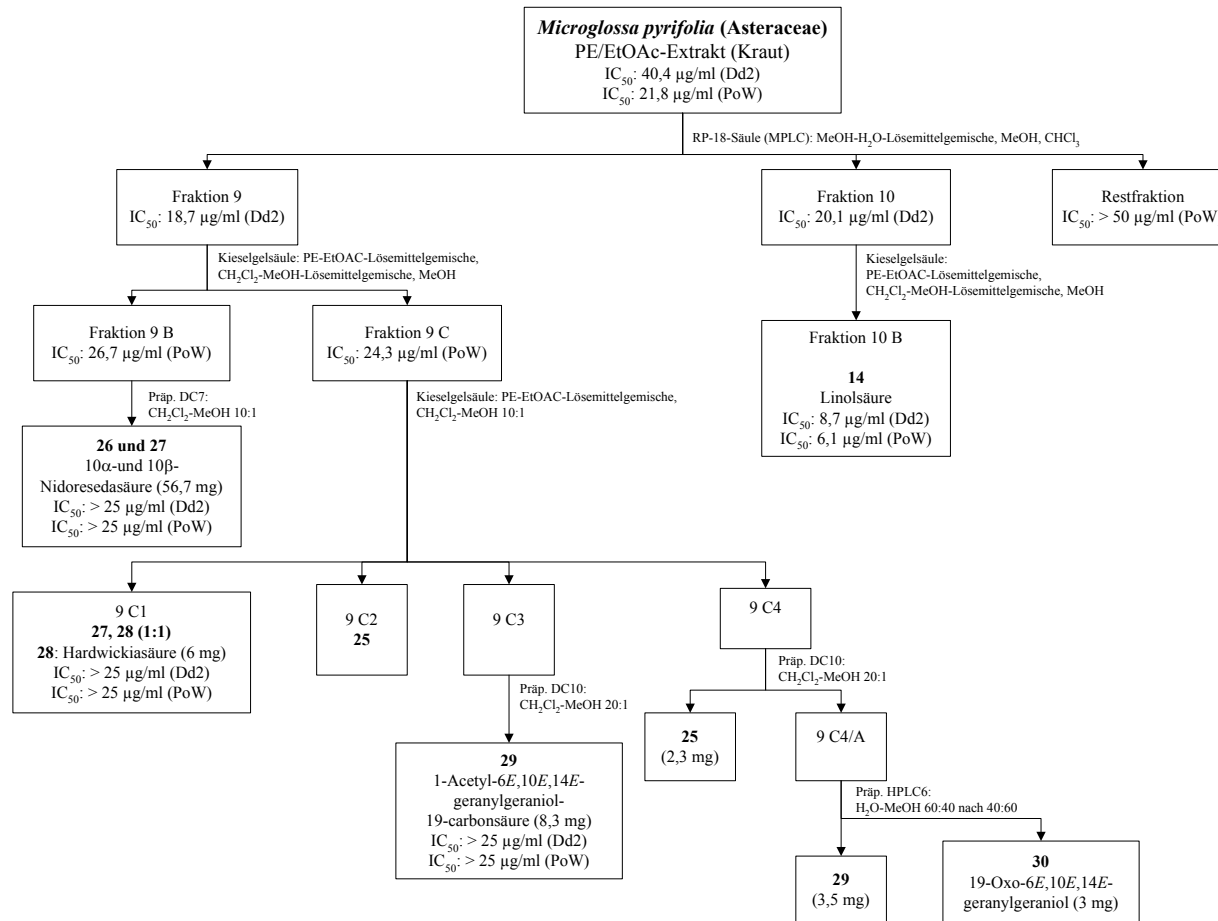
Anhang IV:

Schema der aktivitätsgeleiteten Fraktionierung des lipophilen Rohextraktes der oberirdischen Pflanzenteile von *Microglossa pyrifolia* (Ernte 2000)



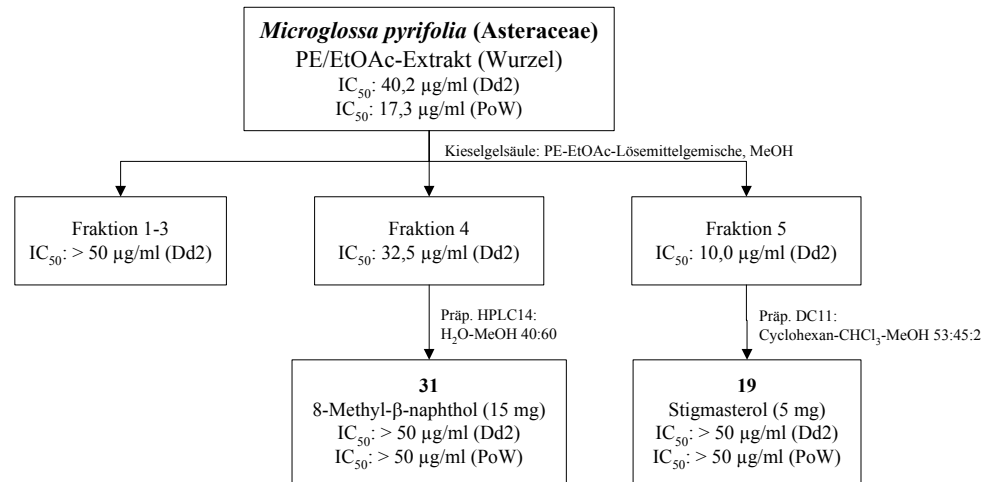
Anhang V:

Schema der aktivitätsgeleiteten Aufarbeitung der Fraktionen 7 und 8 des lipophilen Rohextraktes der oberirdischen Pflanzenteile von *Microglossa pyrifolia* (Ernte 2001)



Anhang VI:

Schema der aktivitätsgeleiteten Aufarbeitung der Fraktionen 9 und 10 des lipophilen Rohextraktes der oberirdischen Pflanzenteile von *Microglossa pyrifolia* (Ernte 2001)



Anhang VII:

Schema der aktivitätsgeleiteten Fraktionierung des lipophilen Rohextraktes der Wurzeln von *Microglossa pyrifolia* (Ernte 2001)